



A.A. 2025-2026 ELEMENTI DI TERMOFLUIDODINAMICA PER LE MACCHINE

Lucia Parussini

Dipartimento di Ingegneria e Architettura, Università degli Studi di Trieste Via Valerio 10 - 34127 Trieste - ITALY

E-mail: lparussini@units.it





Adimensionalizzare: trasformare le variabili del problema in grandezze prive di dimensioni dividendole per opportuni fattori di scala.

Analisi dimensionale: tecnica che consente di individuare le dipendenze funzionali dei fenomeni da variabili fisiche e geometriche basandosi su considerazioni di OMOGENEITA' DIMENSIONALE.

Se una equazione esprime una corretta relazione tra le variabili di un processo fisico allora sarà dimensionalmente omogenea, cioè ciascun termine additivo avrà le medesime dimensioni.





Analisi dimensionale

Vantaggi:

- relazioni più semplici con minor numero di parametri
- compattazione degli ordini di grandezza
- valutazione dell'importanza dei termini all'interno delle equazioni
- · leggi di scala, quindi maggiore universalità delle leggi ottenute
- nelle sperimentazione: riduzione del numero di parametri da variare, riduzione del numero di esperimenti da fare, possibilità di fare esperimenti significativi in scala ridotta



Test in galleria del vento: si sfruttano i principi dell'analisi dimensionale

$$F = f(L, U, \rho, \mu)$$
 $\frac{F}{\rho U^2 L^2} = g\left(\frac{\rho UL}{\mu}\right)$ $C_F = g(\text{Re})$







SCELTA DELLE VARIABILI E PARAMETRI DI ADIMENSIONALIZZAZIONE

Equazione di moto di un corpo in caduta libera

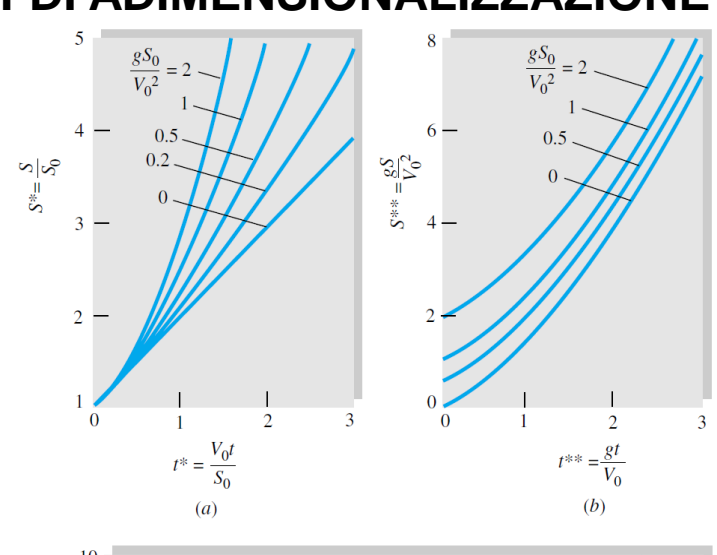
$$S = S_0 + V_0 t + \frac{1}{2} g t^2$$

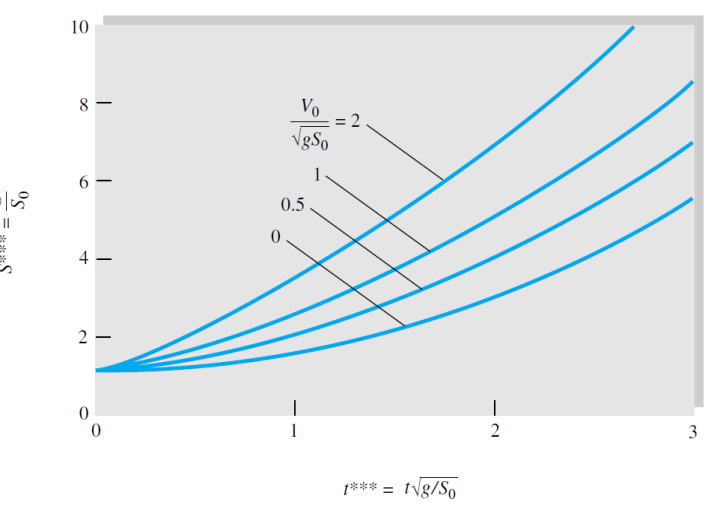
2 variabili e 3 parametri le cui dimensioni sono:

2 dimensioni *L*,*T*



2 parametri di adimensionalizzazione





(c)





SCELTA DELLE VARIABILI E PARAMETRI DI ADIMENSIONALIZZAZIONE

$$S = S_0 + V_0 t + \frac{1}{2} g t^2$$

S_0, V_0

$$S^* = \frac{S}{S_0} \qquad t^* = \frac{V_0 t}{S_0}$$

$$S = S_0 S * \quad t = \frac{S_0}{V_0} t *$$

$$S_0 S^* = S_0 + V_0 \frac{S_0}{V_0} t^* + \frac{1}{2} g \frac{S_0^2}{V_0^2} t^{*2}$$

$$S^* = 1 + t^* + \alpha t^{*2}$$

$$\alpha = \frac{gS_0}{V_0^2}$$

$$V_0, g$$

$$S^{**} = \frac{gS}{V_0^2} \qquad t^{**} = \frac{gt}{V_0}$$

$$S = \frac{V_0^2}{g}S^{**} \qquad t = \frac{V_0}{g}t^{**}$$

$$S = \frac{V_0^2}{g} S^{**} \qquad t = \frac{V_0}{g} t^{**}$$

$$S_0 S^* = S_0 + V_0 \frac{S_0}{V_0} t^* + \frac{1}{2} g \frac{S_0^2}{V_0^2} t^{*2}$$

$$\frac{V_0^2}{g} S^{**} = S_0 + V_0 \frac{V_0}{g} t^{**} + \frac{1}{2} g \frac{V_0^2}{g^2} t^{**2}$$

$$S^{**} = S_0 \frac{g}{V_0^2} + V_0 \frac{V_0}{g} \frac{g}{V_0^2} t^{**} + \frac{1}{2} g \frac{V_0^2}{g^2} \frac{g}{V_0^2} t^{**2}$$

$$S^{***} = 1 + V_0 \left(\frac{S_0}{g}\right)^{1/2} \frac{1}{S_0} t^{***} + \frac{1}{2} g \left(\frac{S_0}{g}\right) \frac{1}{S_0} t^{***}$$

$$S^{**} = \alpha + t^{**} + \frac{1}{2}t^{**2}$$

$$\alpha = \frac{gS_0}{V_0^2}$$

$$\alpha = \frac{gS_0}{V_0^2}$$

$$S_0, g$$

$$S^{***} = \frac{S}{S_0}$$
 $t^{***} = \sqrt{\frac{g}{S_0}}t$

$$S^{***} = \frac{S}{S_0} \qquad t^{***} = \sqrt{\frac{g}{S_0}} t$$

$$S = S_0 S^{***} \qquad t = \left(\frac{S_0}{g}\right)^{1/2} t^{***}$$

$$S_0 S^{***} = S_0 + V_0 \left(\frac{S_0}{g}\right)^{1/2} t^{***} + \frac{1}{2} g \left(\frac{S_0}{g}\right) t^{***}$$

$$S^{***} = 1 + V_0 \left(\frac{S_0}{g}\right)^{1/2} \frac{1}{S_0} t^{***} + \frac{1}{2} g \left(\frac{S_0}{g}\right) \frac{1}{S_0} t^{***}$$

$$S^{***} = 1 + \beta t^{***} + \frac{1}{2} t^{***}^{2}$$

$$\beta = \frac{1}{\sqrt{\alpha}} = \frac{V_0}{\sqrt{gS_0}}$$

$$\beta = \frac{1}{\sqrt{\alpha}} = \frac{V_0}{\sqrt{gS_0}}$$





TEOREMA DI BUCKINGHAM

La forza F su un corpo immerso in una corrente fluida dipende dalla lunghezza del corpo L, la velocità del flusso U, la densità del fluido ρ e la viscosità del fluido μ :

$$F = f(L, U, \rho, \mu)$$

5 variabili le cui dimensioni sono:

3 grandezze MLT

2 gruppi adimensionali





TEOREMA DI BUCKINGHAM

$$\pi_{1} = L^{a}U^{b}\rho^{c}F = \{L\}^{a}\{LT^{-1}\}^{b}\{ML^{-3}\}^{c}\{MLT^{-2}\} = \{M^{0}L^{0}T^{0}\}$$

$$\begin{cases} c+1=0 & \{a=-2\\b=-2\\b=-2\\c=-1 \end{cases}$$

$$\pi_{1} = L^{-2}U^{-2}\rho^{-1}F = \frac{F}{\rho U^{2}L^{2}} = C_{F}$$

$$\longrightarrow C_{F} = g(\text{Re})$$

$$\pi_1 = L^{-2}U^{-2}\rho^{-1}F = \frac{F}{\rho U^2 L^2} = C_F$$

$$\pi_2 = L^a U^b \rho^c \mu = \{L\}^a \{LT^{-1}\}^b \{ML^{-3}\}^c \{ML^{-1}T^{-1}\} = \{M^0 L^0 T^0\}$$

$$\begin{cases} c+1=0 \\ a+b-3c-1=0 \\ -b-1=0 \end{cases} \begin{cases} a=-1 \\ b=-1 \\ c=-1 \end{cases}$$

$$\pi_2 = L^{-1}U^{-1}\rho^{-1}\mu = \frac{\mu}{\rho UL} = \frac{1}{\text{Re}}$$





Numeri adimensionali

Numero di Reynolds	$Re = \frac{\rho UL}{\mu}$	inerzia viscosità	Sempre
Numero di Mach	$M = \frac{U}{}$	velocità del flusso	Flusso
	c	velocità del suono	compressibile
Numero di Froude	$Fr = \frac{U^2}{gL}$	<u>inerzia</u>	Flusso con
		gravità	superficie libera
Numero di Weber	$We = \frac{\rho U^2 L}{\gamma}$	inerzia	Flusso con
		tensione superficiale	superficie libera
Numero di Eulero o cifra di cavitazione	$Eu = \frac{p}{\rho U^2}$	pressione inerzia	Cavitazione
Numero di Prandtl	$\Pr = \frac{\mu c_p}{\lambda}$	dissipazione	Convezione di
		conduzione	calore
Numero di Eckert	$Ec = \frac{U^2}{c_p T_0}$	energiacinetica	Dissipazione
		entalpia	





Numeri adimensionali

Rapporto dei calori specifici	$k = \frac{c_p}{c_v}$	entalpia energiainterna	Flusso compressibile
Numero di Strouhal	$St = \frac{\omega L}{U}$	oscillazione velocitàmedia	Flusso oscillante
Cifra di ruvidità	$\frac{\mathcal{E}}{}$	ruviditàparete	Turbolenza,
	L	lunghezzadelcorpo	pareti ruvide
Numero di Grashof	$Gr = \frac{\beta \Delta T g L^3}{2}$	$ ho^2$ galleggiamento	Convezione
	$Gr = {\mu^2}$	 viscosità	naturale
Cifra di temperatura	T_{w}	temperaturaparete	Trasferimento di
	T_0	temperatura del flusso	calore





Numeri adimensionali

Coefficiente di pressione	$C_p = \frac{p - p_{\infty}}{\frac{1}{2} \rho U^2}$	pressione statica pressione dinamica	Aerodinamica, idrodinamica
Coefficiente di portanza	$C_L = \frac{L}{\frac{1}{2}\rho U^2 A}$	portanza forzadinamica	Aerodinamica, idrodinamica
Coefficiente di resistenza	$C_D = \frac{D}{\frac{1}{2}\rho U^2 A}$	resistenza forzadinamica	Aerodinamica, idrodinamica



Adimensionalizzazione dell'equazione di continuità per flussi incomprimibili

$$\nabla \cdot \mathbf{u} = 0$$

$$x^* = \frac{x}{L} \qquad y^* = \frac{y}{L} \qquad z^* = \frac{z}{L}$$

$$u^* = \frac{u}{U_{\infty}} \qquad v^* = \frac{v}{U_{\infty}} \qquad w^* = \frac{w}{U_{\infty}}$$

$$\frac{U_{\infty}}{L}\nabla \cdot \mathbf{u}^* = 0$$

$$\left| \nabla \cdot \mathbf{u}^* = 0 \right|$$





Adimensionalizzazione delle equazioni di Navier-Stokes per flussi incomprimibili

$$\rho \frac{D\mathbf{u}}{Dt} = -\nabla p + \mu \Delta \mathbf{u} + \rho \mathbf{g}$$

$$x^* = \frac{x}{L} \qquad y^* = \frac{y}{L} \qquad z^* = \frac{z}{L}$$

$$u^* = \frac{u}{U_{\infty}} \qquad v^* = \frac{v}{U_{\infty}} \qquad w^* = \frac{w}{U_{\infty}}$$

$$t^* = t \frac{U_{\infty}}{L} \qquad p^* = \frac{p}{\rho U_{\infty}^2}$$

$$\rho \frac{U_{\infty}^2}{L} \frac{D\mathbf{u}^*}{Dt^*} = -\rho \frac{U_{\infty}^2}{L} \nabla p^* + \mu \frac{U_{\infty}}{L^2} \Delta \mathbf{u}^* + \rho \mathbf{g} \qquad \cdot 1 / \left(\rho \frac{U_{\infty}^2}{L}\right)$$

$$\frac{D\mathbf{u}^*}{Dt^*} = -\nabla p^* + \frac{\mu}{\rho U_{\infty} L} \Delta \mathbf{u}^* + \frac{gL}{U_{\infty}^2} \hat{\mathbf{e}} \qquad \qquad \boxed{\frac{D\mathbf{u}^*}{Dt^*} = -\nabla p^* + \frac{1}{Re}}$$

$$\frac{\partial \mathbf{u}^* + \frac{\mu}{\rho U_{\infty} L} \Delta \mathbf{u}^* + \frac{gL}{U_{\infty}^2} \hat{\mathbf{e}}}{Dt^*} \longrightarrow \frac{D\mathbf{u}^*}{Dt^*} = -\nabla p^* + \frac{1}{\text{Re}} \Delta \mathbf{u}^* + \frac{1}{Fr} \hat{\mathbf{e}}$$





$$\frac{\partial \rho}{\partial t} + \frac{\partial (\rho u)}{\partial x} + \frac{\partial (\rho v)}{\partial y} = 0$$

$$\rho \frac{\partial u}{\partial t} + \rho u \frac{\partial u}{\partial x} + \rho v \frac{\partial u}{\partial y} = -\frac{\partial p}{\partial x} + \frac{\partial}{\partial x} \left(2\mu \frac{\partial u}{\partial x} - \frac{2}{3}\mu \nabla \cdot \mathbf{u} \right) + \frac{\partial}{\partial y} \left(\mu \left(\frac{\partial u}{\partial y} + \frac{\partial v}{\partial x} \right) \right) + \rho F_{mx}$$

$$\rho \frac{\partial v}{\partial t} + \rho u \frac{\partial v}{\partial x} + \rho v \frac{\partial v}{\partial y} = -\frac{\partial p}{\partial y} + \frac{\partial}{\partial x} \left(\mu \left(\frac{\partial v}{\partial x} + \frac{\partial u}{\partial y} \right) \right) + \frac{\partial}{\partial y} \left(2\mu \frac{\partial v}{\partial y} - \frac{2}{3}\mu \nabla \cdot \mathbf{u} \right) + \rho F_{my}$$

$$\rho \frac{\partial \left(c_{p}T\right)}{\partial t} + \rho u \frac{\partial \left(c_{p}T\right)}{\partial x} + \rho v \frac{\partial \left(c_{p}T\right)}{\partial y} - \frac{\partial p}{\partial t} - u \frac{\partial p}{\partial x} - v \frac{\partial p}{\partial y} = \frac{\partial \left(\partial u\right)}{\partial x} + \frac{\partial \left(\partial u\right)}{\partial y} +$$





Equazioni che governano il flusso compressibile adimensionalizzate

Consideriamo un flusso comprimibile bidimensionale stazionario, viscoso, trascurando le forze di massa e assumendo nessuna generazione di calore

$$\rho^* = \frac{\rho}{\rho_{\infty}} \quad u^* = \frac{u}{U_{\infty}} \quad v^* = \frac{v}{U_{\infty}} \quad x^* = \frac{x}{L} \quad y^* = \frac{y}{L}$$

$$\frac{\partial(\rho u)}{\partial x} + \frac{\partial(\rho v)}{\partial y} = 0 \quad \to \quad$$

$$\frac{\rho_{\infty}U_{\infty}}{L}\frac{\partial(\rho^*u^*)}{\partial x^*} + \frac{\rho_{\infty}U_{\infty}}{L}\frac{\partial(\rho^*v^*)}{\partial y^*} = 0 \quad \rightarrow$$

$$\frac{\partial \left(\rho^* u^*\right)}{\partial x^*} + \frac{\partial \left(\rho^* v^*\right)}{\partial y^*} = 0$$





$$\rho^{*} = \frac{\rho}{\rho_{\infty}} \quad u^{*} = \frac{u}{U_{\infty}} \quad v^{*} = \frac{v}{U_{\infty}} \quad p^{*} = \frac{\rho}{\rho_{\infty}U_{\infty}^{2}} \quad \mu^{*} = \frac{\mu}{\mu_{\infty}} \quad x^{*} = \frac{x}{L} \quad y^{*} = \frac{y}{L}$$

$$\rho u \frac{\partial u}{\partial x} + \rho v \frac{\partial u}{\partial y} = -\frac{\partial p}{\partial x} + \frac{\partial}{\partial x} \left(2\mu \frac{\partial u}{\partial x} - \frac{2}{3}\mu \nabla \cdot \mathbf{u} \right) + \frac{\partial}{\partial y} \left(\mu \left(\frac{\partial u}{\partial y} + \frac{\partial v}{\partial x} \right) \right) \rightarrow$$

$$\frac{\rho_{\infty}U_{\infty}^{2}}{L} \rho^{*} u^{*} \frac{\partial u^{*}}{\partial x^{*}} + \frac{\rho_{\infty}U_{\infty}^{2}}{L} \rho^{*} v^{*} \frac{\partial u^{*}}{\partial y^{*}} = -\frac{\rho_{\infty}U_{\infty}^{2}}{L} \frac{\partial p^{*}}{\partial x^{*}} + \frac{\mu_{\infty}U_{\infty}}{L^{2}} \left[\frac{\partial}{\partial x^{*}} \left(2\mu^{*} \frac{\partial u^{*}}{\partial x^{*}} - \frac{2}{3}\mu^{*} \nabla^{*} \cdot \mathbf{u}^{*} \right) + \frac{\partial}{\partial y^{*}} \left(\mu^{*} \left(\frac{\partial u^{*}}{\partial y^{*}} + \frac{\partial v^{*}}{\partial x^{*}} \right) \right) \right] \rightarrow$$

$$\rho^{*} u^{*} \frac{\partial u^{*}}{\partial x^{*}} + \rho^{*} v^{*} \frac{\partial u^{*}}{\partial y^{*}} = -\frac{\partial p^{*}}{\partial x^{*}} + \frac{L}{\rho_{\infty}U_{\infty}^{2}} \left[\frac{\partial}{\partial x^{*}} \left(2\mu^{*} \frac{\partial u^{*}}{\partial x^{*}} - \frac{2}{3}\mu^{*} \nabla^{*} \cdot \mathbf{u}^{*} \right) + \frac{\partial}{\partial y^{*}} \left(\mu^{*} \left(\frac{\partial u^{*}}{\partial y^{*}} + \frac{\partial v^{*}}{\partial x^{*}} \right) \right) \right] \rightarrow$$

$$\rho^{*} u^{*} \frac{\partial u^{*}}{\partial x^{*}} + \rho^{*} v^{*} \frac{\partial u^{*}}{\partial y^{*}} = -\frac{\partial p^{*}}{\partial x^{*}} + \frac{\mu_{\infty}}{\rho_{\infty}U_{\infty}L} \left[\frac{\partial}{\partial x^{*}} \left(2\mu^{*} \frac{\partial u^{*}}{\partial x^{*}} - \frac{2}{3}\mu^{*} \nabla^{*} \cdot \mathbf{u}^{*} \right) + \frac{\partial}{\partial y^{*}} \left(\mu^{*} \left(\frac{\partial u^{*}}{\partial y^{*}} + \frac{\partial v^{*}}{\partial x^{*}} \right) \right) \right] \rightarrow$$

$$\rho^{*} u^{*} \frac{\partial u^{*}}{\partial x^{*}} + \rho^{*} v^{*} \frac{\partial u^{*}}{\partial y^{*}} = -\frac{\partial p^{*}}{\partial x^{*}} + \frac{\mu_{\infty}}{\rho_{\infty}U_{\infty}L} \left[\frac{\partial}{\partial x^{*}} \left(2\mu^{*} \frac{\partial u^{*}}{\partial x^{*}} - \frac{2}{3}\mu^{*} \nabla^{*} \cdot \mathbf{u}^{*} \right) + \frac{\partial}{\partial y^{*}} \left(\mu^{*} \left(\frac{\partial u^{*}}{\partial y^{*}} + \frac{\partial v^{*}}{\partial x^{*}} \right) \right) \right] \rightarrow$$

$$\rho^{*} u^{*} \frac{\partial u^{*}}{\partial x^{*}} + \rho^{*} v^{*} \frac{\partial u^{*}}{\partial y^{*}} = -\frac{\partial p^{*}}{\partial x^{*}} + \frac{1}{Re_{\infty}} \left[\frac{\partial}{\partial x^{*}} \left(2\mu^{*} \frac{\partial u^{*}}{\partial x^{*}} - \frac{2}{3}\mu^{*} \nabla^{*} \cdot \mathbf{u}^{*} \right) + \frac{\partial}{\partial y^{*}} \left(\mu^{*} \left(\frac{\partial u^{*}}{\partial y^{*}} + \frac{\partial v^{*}}{\partial x^{*}} \right) \right) \right]$$

$$\rho^* u^* \frac{\partial v^*}{\partial x^*} + \rho^* v^* \frac{\partial v^*}{\partial y^*} = -\frac{\partial p^*}{\partial y^*} + \frac{1}{\text{Re}_{\infty}} \left[\frac{\partial}{\partial x^*} \left(\mu^* \left(\frac{\partial u^*}{\partial y^*} + \frac{\partial v^*}{\partial x^*} \right) \right) + \frac{\partial}{\partial y^*} \left(2\mu^* \frac{\partial v^*}{\partial y^*} - \frac{2}{3}\mu^* \nabla^* \cdot \mathbf{u}^* \right) \right]$$





$$\rho^* = \frac{\rho}{\rho_{\infty}} \quad u^* = \frac{u}{U_{\infty}} \quad v^* = \frac{v}{U_{\infty}} \quad p^* = \frac{p}{\rho_{\infty} U_{\infty}^2} \quad T^* = \frac{T}{T_{\infty}} \quad \mu^* = \frac{\mu}{\mu_{\infty}} \quad \lambda^* = \frac{\lambda}{\lambda_{\infty}} \quad c_p^* = \frac{c_p}{c_{p_{\infty}}} \quad x^* = \frac{x}{L} \quad y^* = \frac{y}{L}$$

$$\rho u \frac{\partial \left(c_p T\right)}{\partial x} + \rho v \frac{\partial \left(c_p T\right)}{\partial y} = u \frac{\partial p}{\partial x} + v \frac{\partial p}{\partial y} + \frac{\partial}{\partial x} \left(\lambda \frac{\partial T}{\partial x}\right) + \frac{\partial}{\partial y} \left(\lambda \frac{\partial T}{\partial y}\right) +$$

$$\mu \left(2 \left(\left(\frac{\partial u}{\partial x}\right)^2 + \left(\frac{\partial v}{\partial y}\right)^2\right) + \left(\frac{\partial u}{\partial y} + \frac{\partial v}{\partial x}\right)^2 - \frac{2}{3} \left(\frac{\partial u}{\partial x} + \frac{\partial v}{\partial y}\right)^2\right)$$

$$\frac{\rho_{\infty}U_{\infty}c_{p\infty}T_{\infty}}{L}\left(\rho^{*}u^{*}\frac{\partial\left(c_{p}^{*}T^{*}\right)}{\partial x^{*}}+\rho^{*}v^{*}\frac{\partial\left(c_{p}^{*}T^{*}\right)}{\partial y^{*}}\right)=\frac{U_{\infty}\rho_{\infty}U_{\infty}^{2}}{L}\left(u^{*}\frac{\partial p^{*}}{\partial x^{*}}+v^{*}\frac{\partial p^{*}}{\partial y^{*}}\right)+\\ \frac{\lambda_{\infty}T_{\infty}}{L^{2}}\left(\frac{\partial}{\partial x^{*}}\left(\lambda^{*}\frac{\partial T^{*}}{\partial x^{*}}\right)+\frac{\partial}{\partial y^{*}}\left(\lambda^{*}\frac{\partial T^{*}}{\partial y^{*}}\right)\right)+\frac{\mu_{\infty}U_{\infty}^{2}}{L^{2}}\mu^{*}\left(2\left(\left(\frac{\partial u^{*}}{\partial x^{*}}\right)^{2}+\left(\frac{\partial v^{*}}{\partial y^{*}}\right)^{2}\right)+\left(\frac{\partial u^{*}}{\partial y^{*}}+\frac{\partial v^{*}}{\partial x^{*}}\right)^{2}-\frac{2}{3}\left(\frac{\partial u^{*}}{\partial x^{*}}+\frac{\partial v^{*}}{\partial y^{*}}\right)^{2}\right)\rightarrow$$





$$\rho^{*}u^{*}\frac{\partial\left(c_{p}^{*}T^{*}\right)}{\partial x^{*}} + \rho^{*}v^{*}\frac{\partial\left(c_{p}^{*}T^{*}\right)}{\partial y^{*}} = \frac{U_{\infty}\rho_{\infty}U_{\infty}^{2}}{L}\frac{L}{\rho_{\infty}U_{\infty}c_{p\infty}T_{\infty}}\left(u^{*}\frac{\partial p^{*}}{\partial x^{*}} + v^{*}\frac{\partial p^{*}}{\partial y^{*}}\right) + \frac{\lambda_{\infty}T_{\infty}}{L^{2}}\frac{L}{\rho_{\infty}U_{\infty}c_{p\infty}T_{\infty}}\left(\frac{\partial}{\partial x^{*}}\left(\lambda^{*}\frac{\partial T^{*}}{\partial x^{*}}\right) + \frac{\partial}{\partial y^{*}}\left(\lambda^{*}\frac{\partial T^{*}}{\partial y^{*}}\right)\right) + \frac{\mu_{\infty}U_{\infty}^{2}}{L^{2}}\frac{L}{\rho_{\infty}U_{\infty}c_{p\infty}T_{\infty}}\mu^{*}\left(2\left(\left(\frac{\partial u^{*}}{\partial x^{*}}\right)^{2} + \left(\frac{\partial v^{*}}{\partial y^{*}}\right)^{2}\right) + \left(\frac{\partial u^{*}}{\partial y^{*}} + \frac{\partial v^{*}}{\partial x^{*}}\right)^{2} - \frac{2}{3}\left(\frac{\partial u^{*}}{\partial x^{*}} + \frac{\partial v^{*}}{\partial y^{*}}\right)^{2}\right) \rightarrow$$

$$\rho^{*}u^{*}\frac{\partial\left(c_{p}^{*}T^{*}\right)}{\partial x^{*}} + \rho^{*}v^{*}\frac{\partial\left(c_{p}^{*}T^{*}\right)}{\partial y^{*}} = \frac{U_{\infty}^{2}}{c_{p\infty}T_{\infty}}\left(u^{*}\frac{\partial p^{*}}{\partial x^{*}} + v^{*}\frac{\partial p^{*}}{\partial y^{*}}\right) + \frac{\lambda_{\infty}}{\rho_{\infty}U_{\infty}Lc_{p\infty}}\left(\frac{\partial}{\partial x^{*}}\left(\lambda^{*}\frac{\partial T^{*}}{\partial x^{*}}\right) + \frac{\partial}{\partial y^{*}}\left(\lambda^{*}\frac{\partial T^{*}}{\partial y^{*}}\right)\right) + \frac{\mu_{\infty}U_{\infty}}{\rho_{\infty}Lc_{p\infty}T_{\infty}}\mu^{*}\left(2\left(\frac{\partial u^{*}}{\partial x^{*}}\right)^{2} + \left(\frac{\partial v^{*}}{\partial y^{*}}\right)^{2}\right) + \left(\frac{\partial u^{*}}{\partial y^{*}} + \frac{\partial v^{*}}{\partial x^{*}}\right)^{2} - \frac{2}{3}\left(\frac{\partial u^{*}}{\partial x^{*}} + \frac{\partial v^{*}}{\partial y^{*}}\right)^{2}\right) \longrightarrow$$



$$\frac{\lambda_{\infty}}{\rho_{\infty}U_{\infty}Lc_{p\infty}} = \frac{\lambda_{\infty}}{\rho_{\infty}U_{\infty}Lc_{p\infty}} \frac{\mu_{\infty}}{\mu_{\infty}} = \frac{\mu_{\infty}}{\rho_{\infty}U_{\infty}L} \frac{\lambda_{\infty}}{\mu_{\infty}c_{p\infty}} = \frac{1}{\text{Re}_{\infty} \text{Pr}_{\infty}}$$

$$\frac{U_{\infty}^{2}}{c_{p\infty}T_{\infty}} = Ec_{\infty} = (k-1)M_{\infty}^{2}$$

$$\frac{\mu_{\infty}U_{\infty}}{\rho_{\infty}Lc_{p\infty}T_{\infty}} = \frac{\mu_{\infty}U_{\infty}}{\rho_{\infty}Lc_{p\infty}T_{\infty}} \frac{U_{\infty}}{U_{\infty}} = \frac{\mu_{\infty}}{\rho_{\infty}LU_{\infty}} \frac{U_{\infty}^{2}}{c_{p\infty}T_{\infty}} = \frac{Ec_{\infty}}{\text{Re}_{\infty}}$$

$$\rho^{*} \left(u^{*} \frac{\partial \left(c_{p}^{*} T^{*} \right)}{\partial x^{*}} + v^{*} \frac{\partial \left(c_{p}^{*} T^{*} \right)}{\partial y^{*}} \right) = E c_{\infty} \left(u^{*} \frac{\partial p^{*}}{\partial x^{*}} + v^{*} \frac{\partial p^{*}}{\partial y^{*}} \right) + \frac{1}{\operatorname{Re}_{\infty} \operatorname{Pr}_{\infty}} \left(\frac{\partial}{\partial x^{*}} \left(\lambda^{*} \frac{\partial T^{*}}{\partial x^{*}} \right) + \frac{\partial}{\partial y^{*}} \left(\lambda^{*} \frac{\partial T^{*}}{\partial y^{*}} \right) \right) + \left(\frac{\partial u^{*}}{\partial y^{*}} + \frac{\partial v^{*}}{\partial x^{*}} \right)^{2} - \frac{2}{3} \left(\frac{\partial u^{*}}{\partial x^{*}} + \frac{\partial v^{*}}{\partial y^{*}} \right)^{2} \right)$$





$$\frac{\partial(\rho^* u^*)}{\partial x^*} + \frac{\partial(\rho^* v^*)}{\partial y^*} = 0$$

$$\rho^* u^* \frac{\partial u^*}{\partial x^*} + \rho^* v^* \frac{\partial u^*}{\partial y^*} = -\frac{\partial p^*}{\partial x^*} + \frac{1}{\operatorname{Re}_{\infty}} \frac{\partial}{\partial y^*} \left(\mu^* \left(\frac{\partial u^*}{\partial y^*} + \frac{\partial v^*}{\partial x^*} \right) \right)$$

$$\rho^* u^* \frac{\partial v^*}{\partial x^*} + \rho^* v^* \frac{\partial v^*}{\partial y^*} = -\frac{\partial p^*}{\partial y^*} + \frac{1}{\operatorname{Re}_{\infty}} \frac{\partial}{\partial x^*} \left(\mu^* \left(\frac{\partial u^*}{\partial y^*} + \frac{\partial v^*}{\partial x^*} \right) \right)$$

$$\rho^{*}\left(u^{*}\frac{\partial\left(c_{p}^{*}T^{*}\right)}{\partial x^{*}}+v^{*}\frac{\partial\left(c_{p}^{*}T^{*}\right)}{\partial y^{*}}\right)=\left(k-1\right)M_{\infty}^{2}\left(u^{*}\frac{\partial p^{*}}{\partial x^{*}}+v^{*}\frac{\partial p^{*}}{\partial y^{*}}\right)+\frac{1}{\operatorname{Re}_{\infty}\operatorname{Pr}_{\infty}}\left(\frac{\partial}{\partial x^{*}}\left(\lambda^{*}\frac{\partial T^{*}}{\partial x^{*}}\right)+\frac{\partial}{\partial y^{*}}\left(\lambda^{*}\frac{\partial T^{*}}{\partial y^{*}}\right)\right)+\frac{\left(k-1\right)M_{\infty}^{2}}{\operatorname{Re}_{\infty}}\mu^{*}\left(2\left(\left(\frac{\partial u^{*}}{\partial x^{*}}\right)^{2}+\left(\frac{\partial v^{*}}{\partial y^{*}}\right)^{2}\right)+\left(\frac{\partial u^{*}}{\partial y^{*}}+\frac{\partial v^{*}}{\partial x^{*}}\right)^{2}-\frac{2}{3}\left(\frac{\partial u^{*}}{\partial x^{*}}+\frac{\partial v^{*}}{\partial y^{*}}\right)^{2}\right)$$





Adimensionalizzazione delle condizioni al contorno

Fixed solid surface $\mathbf{u} = 0$, Known \mathbf{u}, p

Free surface
$$z = \eta$$
 $w = \frac{d\eta}{dt}$, $p = p_a - \gamma \left(R_x^{-1} + R_y^{-1}\right)$

$$\mathbf{x}^* = \frac{\mathbf{x}}{L} \quad \mathbf{u}^* = \frac{\mathbf{u}}{U_{\infty}} \quad t^* = t \frac{U_{\infty}}{L} \quad p^* = \frac{p}{\rho_{\infty} U_{\infty}^2}$$

Fixed solid surface $\mathbf{u}^* = 0$, Known \mathbf{u}^* , p^*

Free surface
$$z^* = \eta^*$$
 $w^* = \frac{d\eta^*}{dt^*}$, $p^* = \frac{p_a}{\rho_\infty U_\infty^2} - \frac{\gamma}{\rho_\infty U_\infty^2 L} \left(R^{*-1}_x + R^{*-1}_y\right)$

Fixed solid surface
$$\mathbf{u}^* = 0$$
, Known \mathbf{u}^*, p^*

Free surface
$$z^* = \eta^*$$
 $w^* = \frac{d\eta^*}{dt^*}$, $p^* = Eu - \frac{1}{We} \left(R^{*-1}_x + R^{*-1}_y \right)$





Numeri adimensionali

Numero di Reynolds
$$Re = \frac{\rho UL}{\mu}$$

interpretazione dinamica: rapporto fra forza d'inerzia e quella viscosa (di natura dissipativa)

Per valori molto piccoli di Re (M < 0.3) problemi riguardanti la lubrificazione. Per valori molto grandi di Re problemi nei quali le forze viscose possono essere trascurate rispetto a quelle d'inerzia.

interpretazione **cinematica**: rapporto fra la velocità U che effettivamente ha la massa del fluido e la velocità v/L con cui si propagano le azioni tangenziali all'interno del fluido.

Per valori molto grandi di Re, le tensioni tangenziali non si propagano in modo veloce, rimangono confinate in una zona molto ristretta vicina a quella in cui hanno origine (ad es. nell'interno dello strato limite di una parete).





Numeri adimensionali

Numero di Froude
$$Fr = \frac{U^2}{gL}$$

interpretazione **dinamica**: rapporto fra forza d'inerzia, agente sulla particella fluida, che è proporzionale a ρU^2L^2 , e quella di gravità che è proporzionale a ρgL^3 .

Compare in tutti quei problemi nei quali il peso proprio della massa fluida non può essere trascurato rispetto alle altre forze, soprattutto quella d'inerzia.





Numeri adimensionali

$$M = \frac{U}{c}$$

interpretazione **cinematica**: rapporto fra velocità: se $U < c \ (M < 1)$ il moto del fluido è detto **subsonico**, mentre invece se $U > c \ (M > 1)$ è detto **supersonico**.

La condizione di incompressibilità è accettabile in tutti quei fenomeni che si sviluppano con M < 0.3; infatti le variazioni relative di massa volumica risultano trascurabili rispetto a quelle di velocità e il fluido può essere considerato incompressibile. Un valore basso del numero di Mach può dipendere o dal fatto che il fluido ha una velocità bassa o dal fatto che la velocità del suono all'interno del fluido è elevata.

Rapporto dei calori specifici

$$k = \frac{c_p}{c_v}$$





Numeri adimensionali

Numero di Eckert
$$Ec = \frac{U^2}{c_p T}$$

esprime la relazione tra l'energia cinetica del fluido e l'entalpia.

Il numero di Eckert viene utilizzato per caratterizzare l'influenza del riscaldamento di un fluido come conseguenza degli effetti di dissipazione. A velocità di flusso elevate, il profilo di temperatura in un flusso non è dominato solo dai gradienti di temperatura presenti, ma anche dagli effetti di dissipazione dovuti all'attrito interno del fluido. Ciò comporta un autoriscaldamento e quindi una variazione del profilo di temperatura.

Il numero di Eckert permette di giudicare se gli effetti del riscaldamento dovuti alla dissipazione possono essere trascurati (Ec « 1) o meno.





Numeri adimensionali

Numero di Prandtl
$$Pr = \frac{\mu c_p}{\lambda} = \frac{v}{\alpha}$$

esprime il rapporto della diffusività cinematica rispetto alla diffusività termica per un fluido viscoso.

Valori tipici del numero di Prandtl sono:

- circa 0,015 per il mercurio
- circa 0,7 per l'aria e la maggior parte dei gas
- circa 7 per l'acqua (a 20°C)
- tra 100 e 40000 nel caso degli oli motore

NB. Un fluido ideale, per cui valgono le equazioni di Eulero, ha viscosità e conducibilità termica nulle, per cui il numero di Prandtl non è definito per questa classe di fluidi.

Numero di Nusselt
$$Nu = \frac{h}{\lambda}L$$
 esprime il rapporto tra il trasporto di calore per convezione e per conduzione





Numeri adimensionali

$$We = \frac{\rho U^2 L}{\gamma} = \frac{\rho U L}{\mu} \frac{\mu U}{\gamma} = \text{Re} \cdot Ca$$

mette in relazione la forza d'inerzia e la forza di tensione superficiale (*Ca* numero di capillarità)

Numero di Eulero

$$Eu = \frac{p}{\rho U^2}$$

mette in relazione la forza d'inerzia e la forza di pressione.





Flussi oscillanti

$$u = U \cos(\omega t)$$

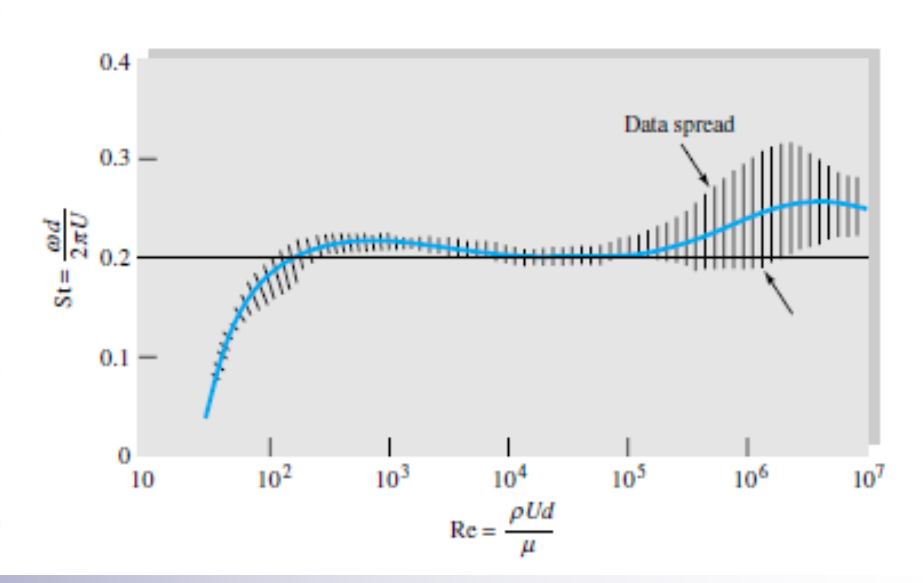
$$u = U \cos(\omega t)$$
 $\frac{u}{U} = u^* = \cos(\frac{\omega L}{U}t^*) = \cos(St t^*)$

Vortici di von Karman

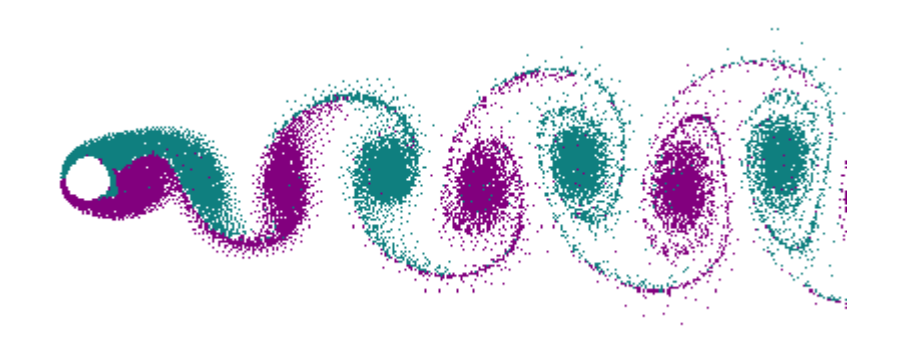
flusso attorno a un cilindro circolare

$$10^2 < \text{Re} < 10^7$$

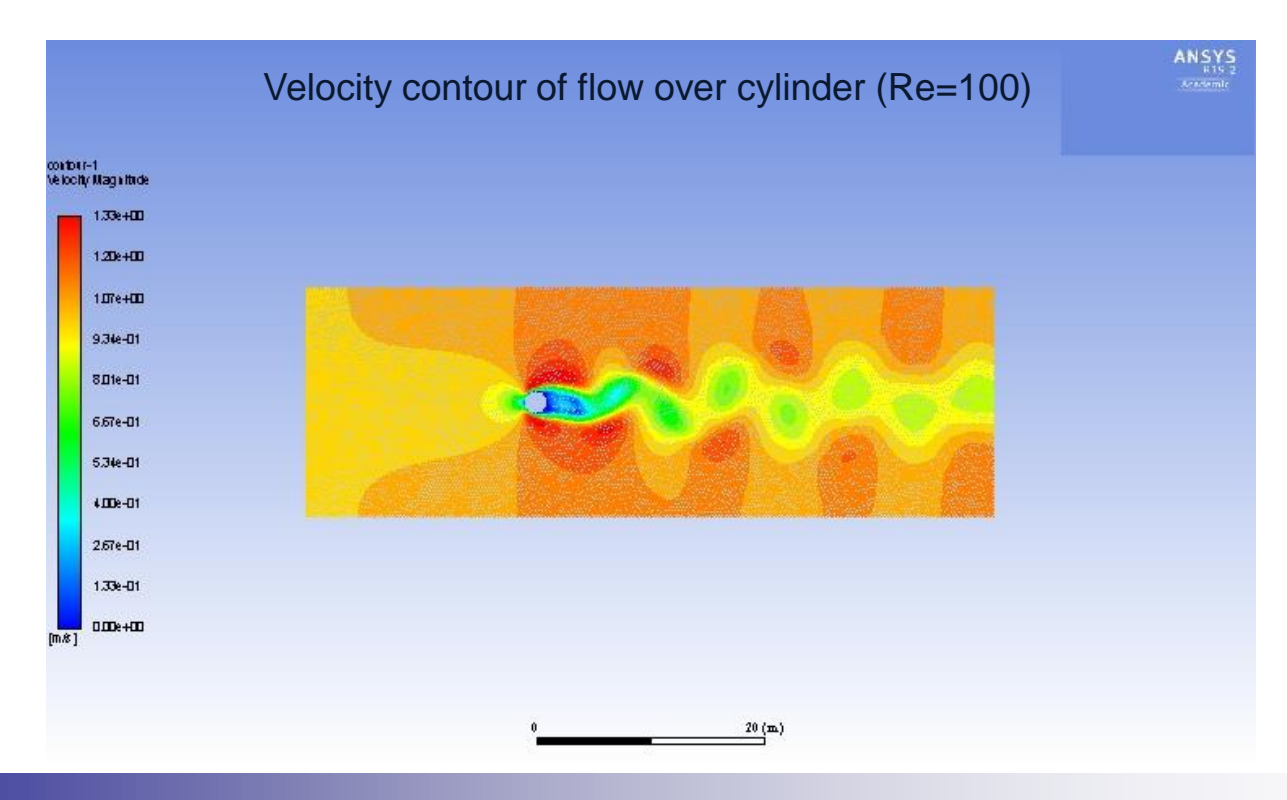
$$St = \frac{\omega d}{2\pi U} \approx 0.21$$







Animation representing the two-dimensional flow patterns behind a rounded obstacle, known as a Von Kármán vortex street







Se la frequenza delle scie vorticose è vicina alla frequenza naturale di oscillazione della struttura immersa nel flusso il sistema può andare in RISONANZA. Un fenomeno di risonanza provoca in genere un aumento significativo dell'ampiezza delle oscillazioni, che corrisponde ad un notevole accumulo di energia all'interno del sistema sollecitato.



Tacoma Narrows Bridge collapse (1940).



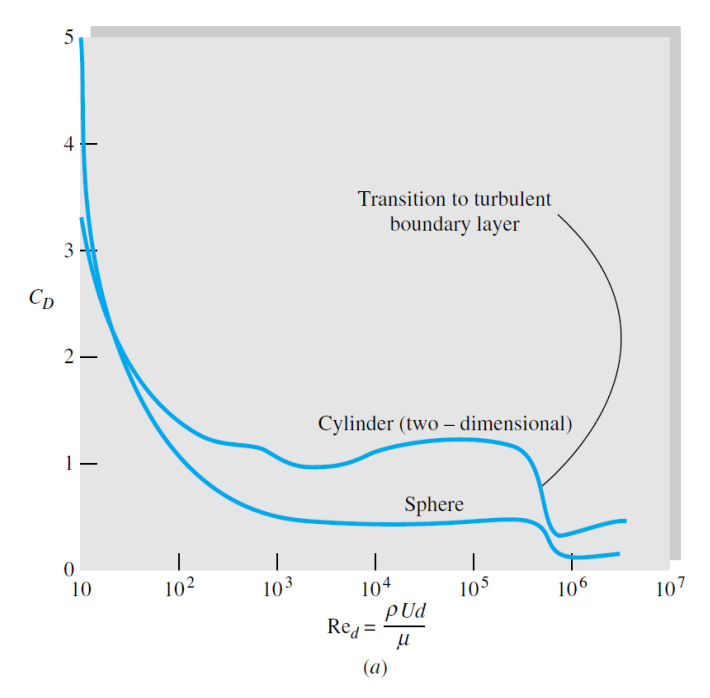


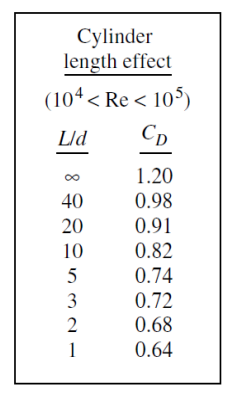
Applicazione dell'analisi dimensionale

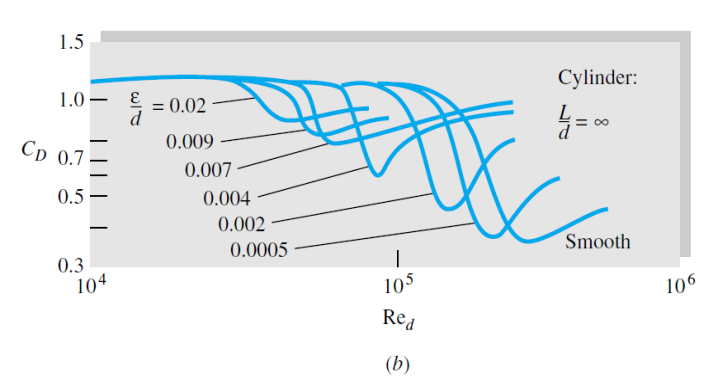
$$C_D = \frac{D}{\frac{1}{2}\rho U^2 L d}$$
 cilindro
$$C_D = \frac{D}{\frac{1}{2}\rho U^2 \pi \frac{d^2}{4}}$$
 sfera

$$C_D = f\left(\operatorname{Re}_d, \frac{\varepsilon}{d}, \frac{L}{d}\right)$$

Coefficiente di resistenza di un ciliindro e una sfera: (a) coefficiente di resistenza di un clindro e una sfera lisci; (b) l'aumento della rugosità causa una transizione anticipata a uno strato limite turbolento.











Difficoltà ingegneristiche

Le condizioni di flusso per un test sul modello sono completamente simili a quelle del prototipo se tutti parametri adimensionali rilevanti hanno gli stessi corrispondenti valori per il modello e il prototipo.

Piuttosto che di similitudine completa si parla di

- similitudine geometrica
- similitudine cinematica.
- similitudine dinamica



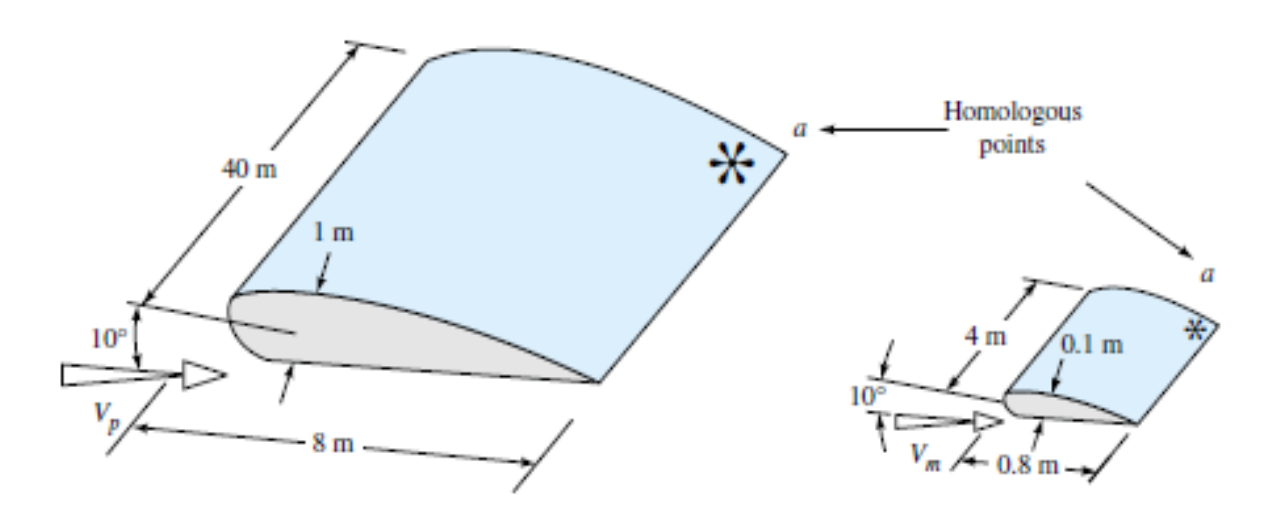


SIMILITUDINE GEOMETRICA

$$\frac{l_m}{l_p} = \alpha$$

Modello e prototipo sono geometricamente simili se e solo se tutte le dimensioni del corpo in tutte e tre le coordinate hanno lo stesso rapporto di scala (rapporto di scala spaziale).

Il modello conserva la stessa forma e orientazione del prototipo. Tutte le direzioni del flusso sono preservate.





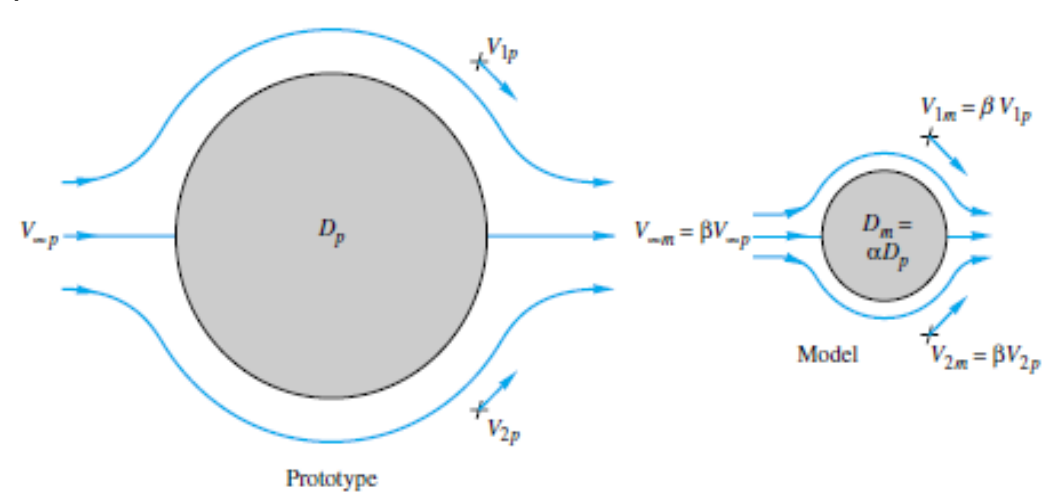


SIMILITUDINE CINEMATICA
$$\frac{V_m}{V_n} = f$$

Modello e prototipo sono cinematicamente simili se e solo particelle omologhe giacciono in punti omologhi in tempi omologhi (rapporto di scala spaziale e temporale).

I regimi di flusso nel modello in scala e nel sistema reale, ovvero le loro linee di flusso sono simili.

Ad es. flusso incomprimibile non viscoso







SIMILITUDINE DINAMICA

Il modello e il prototipo hanno stesso rapporto di scala spaziale, temporale e di massa (forza).

I rapporti di tutte le forze che sono esercitate sulle particelle del fluido e sulle superfici di contorno del modello in scala e del sistema reale sono costanti.

La similitudine dinamica implica la similitudine geometrica e cinematica.

Per flussi comprimibili equivalenza di: Re, Ma, k

Per flussi incomprimibili equivalenza di:

- senza superficie libera Re
- con superficie libera Re, Fr (We, Eu)

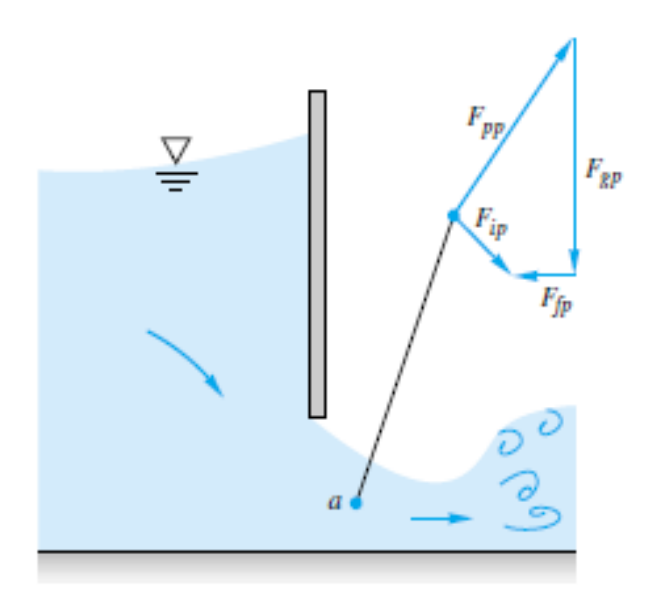


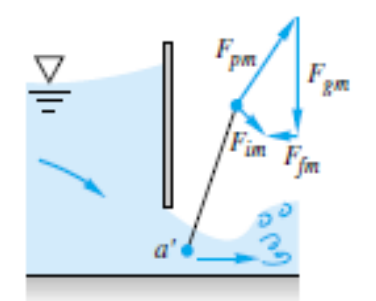


SIMILITUDINE DINAMICA

La perfetta similitudine dinamica è utopia.

Ad es. modello idraulico





$$Re = \frac{V_m L_m}{V_m} = \frac{V_p L_p}{V_p}$$

$$Fr = \frac{V_m^2}{gL_m} = \frac{V_p^2}{gL_p}$$

$$\frac{L_m}{L_p} = \alpha = 0.1$$

$$\frac{V_m}{V_p} = \sqrt{\alpha}$$

$$\frac{V_m}{V_p} = \alpha \sqrt{\alpha} = \alpha^{\frac{3}{2}} = 0.032$$

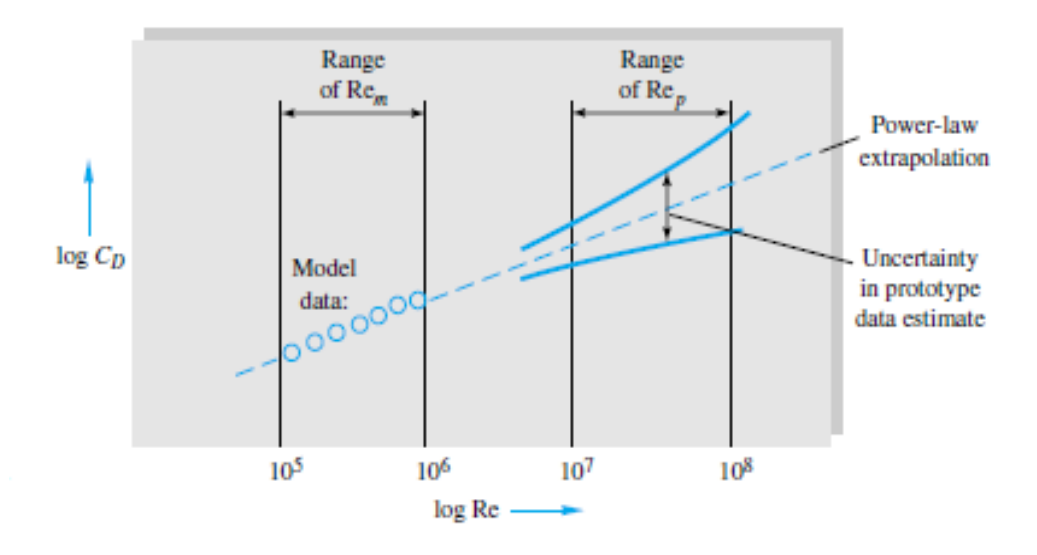




SIMILITUDINE DINAMICA

Ad es. modello aerodinamico

$$Re = \frac{V_m L_m}{v_m} = \frac{V_p L_p}{v_p}$$
$$M = \frac{V_m}{c_m} = \frac{V_p}{c_p}$$



$$\frac{L_m}{L_p} = \alpha$$

$$\frac{V_m}{V_p} = \frac{c_m}{c_p}$$

$$\frac{v_m}{v_p} = \frac{L_m}{L_p} \frac{c_m}{c_p} = \alpha \frac{c_m}{c_p}$$